

## 9) Problemas hipobólicos (Johnson) (1)

### 9.1) Introducción:

Hemos visto hasta ahora cómo el MEF da buenos resultados P/ problemas elípticos (idea parabólicos, aunque no los tratamos).  
Venimos ahora a problemas hipobólicos, por ej. convección-difusión y difusión pequeña (o nula). Ej: mecánica de fluidos, dinámica de gases, propagación de ondas.

Se vio de un principio que el MEF ~~no~~ aplicab a forma estándar para ~~problemas~~ <sup>problemas</sup> de este tipo. Específicamente, los problemas aparecen cuando la solución exacta no es suave.

Si éste posee una discontinuidad ("salto"), luego el MEF a gol exhibe oscilaciones espurias aún lejos del salto.  
~~esto es~~ introduciendo un error apreciable a la solución numérica. Para evitar este inconveniente, se desarrollaron métodos "modificados MEF" adaptados a prob tipo. Verse este capítulo dos de ellos:

- "Streamline diffusion" (difusión a lo largo de las líneas de corriente)
- "Godunov discontinuo".

Los cap puros / ítems estándar. Estos ítems se aplican a sist de 2º orden, eg. convección-difusión y difusión pequeña.

### 9.2) Problemas de convección-difusión

ecuación:  
(9.1) 
$$\frac{\partial u}{\partial t} + \operatorname{div}(u\beta) + \sigma u - \varepsilon \Delta u = 0 \quad \text{en } \Omega \times I$$

$u$ : escalar representab, por ej, concentración

$\beta = (\beta_1, \beta_2, \dots, \beta_d)$ : campo de velocidad

$\sigma$ : coeficiente de absorción

$\varepsilon \geq 0$ : coef difusión

$\Omega \in \mathbb{R}^d$ ,  $I = (0, T)$ : (intervalo de tiempo)

La ec (9.1) es de tipo mixto hiperbólico/parabólico, según el carácter global de  $\beta$  y  $\varepsilon$ .

Asumiendo  $\varepsilon$  pequeño  $\Rightarrow$  (9.1)  $\approx$  hiperbólica.

En particular, para  $\varepsilon = 0$ :

$$(9.2) \quad \frac{\partial u}{\partial t} + \operatorname{div}(u\beta) + \nabla u = 0$$

ó equiv:

$$(9.3) \quad \frac{\partial u}{\partial t} + \beta \cdot \nabla u + \gamma u = 0$$

con  $\gamma = \nabla \cdot \beta$ . (Prob para ser hiperbólico)

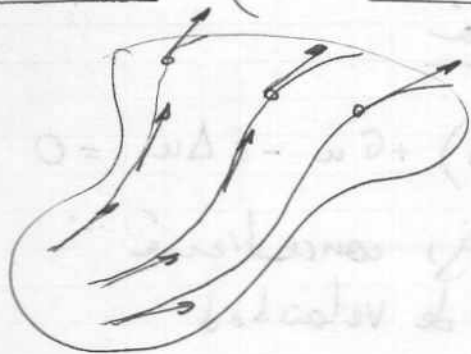
Consideramos ahora una solución estacionaria, con  $u$  y  $\beta$  indep del tiempo:

$$(9d) \quad \beta \cdot \nabla u + \gamma u = 0 \quad \text{en } \Omega$$

$\beta = \beta(x)$ ,  $\gamma = \gamma(x)$  coeficientes dados. Las líneas de corriente corresponden a una velocidad dada  $\beta = (\beta_1, \dots, \beta_d)$  está dada por las curvas  $x(s)$ ,  $x = (x_1, \dots, x_d)$ , con  $x(s)$  solución del sist de ecs:

$$\frac{dx_i}{ds} = \beta_i(x) \quad i = 1, \dots, d$$

Estas curvas, parametrizadas por  $s$ , se las llama curvas características (o characteristics) del prob (9d)

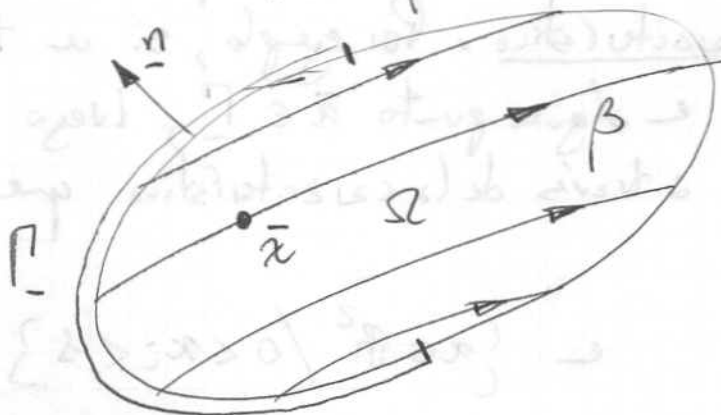


Asumiendo  $\beta$  es Lipschitz-continuo e  $\beta$ , i.e.

$$|\beta(x) - \beta(y)| \leq c |x - y| \quad \forall x, y \in \Omega, \quad \text{algún } c > 0$$

luego en un punto  $\bar{x} \in \Omega$  para exactamente 1 (y solo 1) característica  $\alpha(s)$ . O sea  $\exists ! \alpha(s) / \alpha(0) = \bar{x}$  (2)

$$(9.5) \quad \frac{dx_i}{ds} = \beta_i(x) \quad i=1, \dots, d, \quad \alpha(0) = \bar{x}$$



Siendo  $\alpha(s)$  una característica, por la regla de la cadena tenemos:

$$\begin{aligned} \frac{d}{ds} u(\alpha(s)) &= \sum_{i=1}^d \frac{\partial u}{\partial x_i} \frac{dx_i}{ds} = \\ &= \sum_{i=1}^d \frac{\partial u}{\partial x_i} \beta_i = \beta \cdot \nabla u \end{aligned}$$

$\therefore$  en (9.4):

$$(9.6) \quad \frac{d}{ds} u(\alpha(s)) + \gamma u(\alpha(s)) = 0$$

$\therefore$  a lo largo de  $\gamma$  características la ec. dif. de par. (9.4) se reduce a una EDO. Si la concentración  $u$  es conocida en 1 pto de la característica  $\alpha(s)$ , luego  $u$  puede determinarse en otros puntos de  $\alpha(s)$  por integración de (9.6). Como ejemplo, si asumimos que  $u$  está dado en la frontera de entrada  $\Gamma_-$ , donde:

$$\Gamma_- = \{x \in \Gamma / \underline{n}(x) \cdot \beta(x) < 0\}$$

siendo  $\Gamma$  frontera total,  $\underline{n}(x)$  vector normal saliente unitario. la concentración  $u$  en un pto arbitrario  $\bar{x}$  de  $\Omega$  se puede calcular por integración a lo largo de la característica que pasa por  $\bar{x}$  y

que ocurre en  $\Gamma_- \Rightarrow$  los efectos se propagan a lo largo de las características.

Es importante notar que la solución  $u$  de (9.2) puede ser discontinua a través de una característica. Por ejemplo, si  $u$  tiene una discontinuidad escaña en algún punto  $\bar{x} \in \Gamma_-$ , luego la solución será discontinua a través de la característica que pasa por  $\bar{x}$ . Ej:

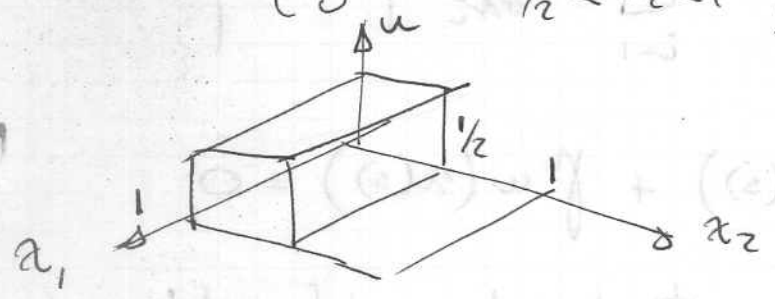
$$\frac{\partial u}{\partial x_1} = 0 \quad \in \{x \in \mathbb{R}^2 / 0 < x_2 < 1\}$$

$$u(0, x_2) = 1 \quad 0 < x_2 < 1/2$$

$$u(0, x_2) = 0 \quad 1/2 < x_2 < 1$$

(observación respecto a  $\beta = (1, 0)$ ,  $f = 0$  en (9.2))  $\hookrightarrow$  solución:

$$u(x_1, x_2) = \begin{cases} 1 & 0 < x_2 < 1/2, \quad 0 < x_1 < 1 \\ 0 & 1/2 < x_2 < 1, \quad 0 < x_1 < 1 \end{cases}$$



How  
Ej 9.2  
How

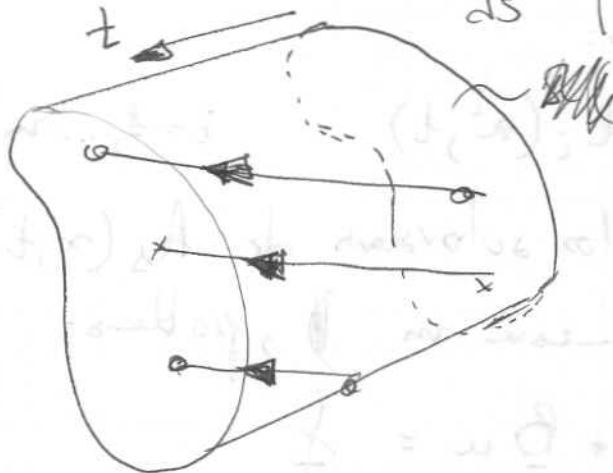
Volvamos ahora al problema dependiente del tiempo (9.3). Reemplazando  $t$  por  $x_0$  y haciendo  $\beta_0 = 1$ , luego, podemos escribir:

$$(9.7) \quad \frac{\partial u}{\partial t} + \beta \cdot \nabla u + f u = 0 \Rightarrow \sum_{i=0} \beta_i \frac{\partial u}{\partial x_i} + f u = 0$$

Formalmente esta ecuación es del mismo tipo que la (9.2) y la discusión de (9.2) también se aplica a (9.7). En particular las características de (9.7) son las curvas  $(x(t), t)$  en el espacio-tiempo, donde  $x(t)$  satisface

$$\frac{\partial x_i}{\partial t} = \beta_i(x, t) \quad i=1, \dots, d$$

(Nota que hemos elegido el parámetro  $s$  igual a  $t = x_0$ , correspondiente a la ecuación  $\frac{dx_0}{ds} = \beta_0 = 1$ )



Nota si EES similares:

Di-ómnica de gases:  $\frac{\partial \rho}{\partial t} + \text{div}(\rho v) = 0$

(la velocidad  $v$  desconocida, se determina por otras ecuaciones)

Nota Generalización de la ecuación escalar lineal hiperbólica:

$$(9.8) \quad \frac{\partial u}{\partial t} + \sum_{j=1}^d A_j \frac{\partial u}{\partial x_j} + B u = f$$

$A_j, B$  matrices  $m \times m$  dep de  $x, t$ .

$A_j$  simétricas,  $u$  vector de  $m$ .

(9.8)  $\rightarrow$  Sist lineal hiperbólico simétrico.

Ej: ecu de onda

$$\frac{\partial u}{\partial t} + \begin{bmatrix} 0 & -1 \\ -1 & 0 \end{bmatrix} \frac{\partial u}{\partial x} = 0 \quad u = \begin{pmatrix} u_1 \\ u_2 \end{pmatrix}$$

o sea:  $\frac{\partial^2 w}{\partial t^2} - \frac{\partial^2 w}{\partial x^2} = 0$

$$\begin{pmatrix} u_{x1} \\ u_1 = \frac{\partial w}{\partial x} \\ u_2 = \frac{\partial w}{\partial t} \end{pmatrix}$$

El caso  $d=1$  (1 dimensión), el sist (3.8) junto a BC y CI apropiados, puede resolverse usando el método de las características. En este caso hay  $m$  características  $(x^i(t), t)$ ,  $i=1, \dots, m$  a través de  $\gamma$  punto  $\bar{x}$  que satisfacen las ecs:

$$\frac{dx^i}{dt} = \lambda_i(x^i, t) \quad i=1, \dots, m$$

donde  $\lambda_i(x, t)$  son los autovalores de  $A_1(x, t)$

( $A_1$  dimensión  $m$ ); problema:

$$\underline{\dot{u}} + \underline{A}_1 \underline{u}' + \underline{B} u = \underline{f} \quad (\underline{B} = 0?)$$

$\underline{B}=0, \underline{f}=0: \underline{\dot{u}} + \underline{A}_1 \underline{u}' = 0$

$$A_1 v = v \lambda \Rightarrow \lambda = v^T A_1 v$$

$$\begin{cases} u = v x y \\ \dot{u} = v \dot{x} y \end{cases} \Rightarrow \underbrace{v^T v}_1 \dot{x} y + \lambda x y = 0$$

En realidad:

$$\frac{dy_i}{dt} + \lambda_i \frac{dy_i}{dx} = 0 \quad i=1, \dots, m$$

Sea  $x^i / \frac{dx^i}{dt} = \lambda_i \Rightarrow$  sobre características:

$$\frac{D}{Dt} y_i(x(t)) = 0 \quad i=1, \dots, m$$

$u = v y:$

~~$$\frac{D}{Dt} u(x(t)) = 0$$~~

sobre  $x^i(t)$

~~$$\frac{D}{Dt} u(x(t)) + B u = f \quad \text{sobre } x^i(t)$$~~

$i=1, \dots, m$

( $m$  ecs ordinarias de  $1^{\text{a}}$  dimensión)

$$\underline{u} = \sum_{i=1, \dots, m} \underline{v}^i y_i \quad \text{con } y_i \text{ sol de } y_i(x(t)) = 0 \text{ sobre } x^i(t)$$

Los términos difusivos y ~~forzados~~ carga:

$b_i = \frac{v_i^T B v_i}{V_i}$  (donde  $B$  / diagonaliza simultáneamente etc) , o sea:  $v_i^T B v_i = b_i \delta_{ij}$

$f_i = v_i^T f$  (Coulter, etc)

y la ecuación:

$\dot{y}_i + b_i y_i = f_i$  sobre  $x^i(t)$   
 $i = 1, \dots, m$

(9.3) Métodos numéricos / ecuaciones hiperbólicas. Generalidades:

Métodos comunes / hiperbólicas:

- Características
- Diferencias finitas
- Elementos finitos

Características: Ecuaciones escalares hiperbólicas en varias dimensiones espaciales y para sistemas lineales e 3 dimensiones espaciales.

1º) Resolver ec de la característica

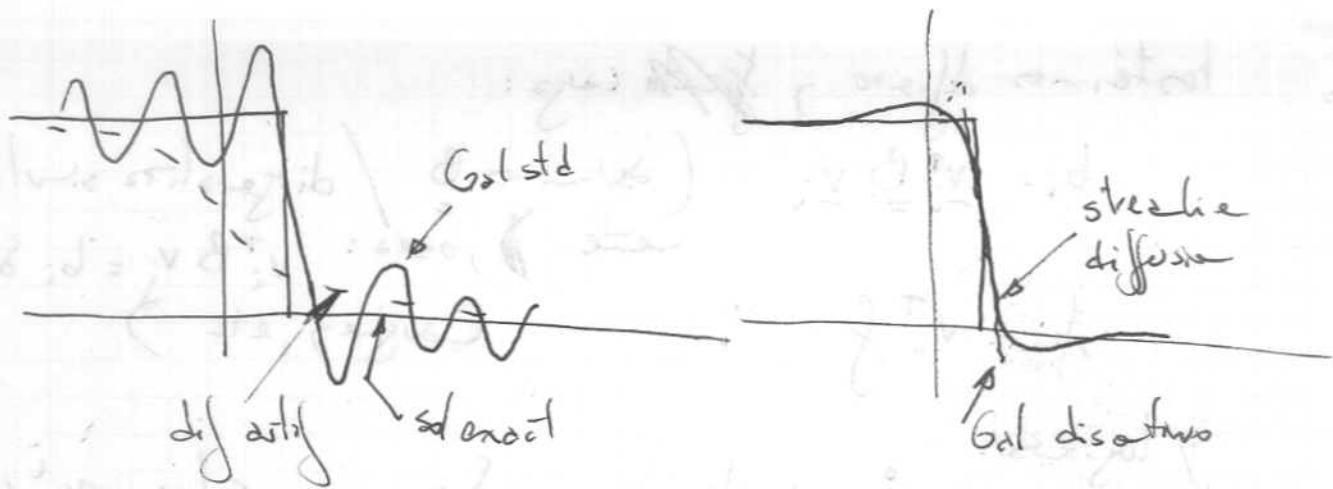
2º) Integrar a lo largo de ésta una EDO

No es fácil de usar en práctica, sobre todo P/U sistema. Se complica + aún en sistemas mixtos hip/parab.

Dif Finit/Elementos fin: Se adopta esas Ecuaciones "simplificadas". Usa (a principio) malla fija, facilita la programación.

Costo: aparece dificultades numéricas si la solución exacta no es suave  $\rightarrow$  error "salto" a través de una característica.

En este caso EF o DF convencionales producen soluciones aproximadas que oscilan (Galerkin std o diferencias centrales) o suaviza demasiado una frente abrupta (difusión artificial clásica)



Luego, los efectos convergen a los tres problemas de estabilidad o de precisión. Desarrollamos los efectos de estabiliz. difusiva y Golstein discontinuo que para el mismo tiempo precisan de alta resolución y buena estabilidad.

(3.8) Relaciones

Consideramos sistemas de la forma:

$$(3.9) \quad \frac{\partial u}{\partial t} + \operatorname{div}(\beta u) + \Gamma u - \varepsilon \Delta u = f \quad (x,t) \in \Omega \times I$$

$$u(x,0) = u_0(x) \quad x \in \Omega$$

y el análogo espacial:

$$(3.10) \quad \operatorname{div}(\beta u) + \Gamma u - \varepsilon \Delta u = f \quad x \in \mathbb{R}^d$$

$I = (0, T)$ ,  $\Gamma, \varepsilon \geq 0$ ,  $\beta = (\beta_1, \dots, \beta_d)$  funciones suaves de  $(x,t)$  ó  $x$ .

Assumptions:

$$(3.11) \quad \frac{1}{2} \operatorname{div} \beta + \Gamma \geq \alpha \quad x \in \Omega \times I$$

con  $\alpha \geq 0$  ( $\alpha > 0$  es el caso estándar)

Esta condición asegura estabilidad ~~en el caso estándar~~ de (3.9) y (3.10)

$\forall \varepsilon \geq 0$  (para  $\varepsilon > 0$ , (3.11) podría ser relajado)

BC: Dirichlet, Neumann o Robin (3º tipo)



Por simplicidad, consideramos 2 problemas sobre  $\Gamma$  con finitos nodos y condiciones Dirichlet, y el otro de problema tipo. Vea los tipos es siguientes:

- A Galerkin Std
- B Galerkin + dif. parcial clásica
- C Difusión // líneas de corriente
- D Galerkin discontinuo
- E Difusión // líneas de corriente discontinuo en el tiempo

A, B, C  $\rightarrow$  eos mixtas elipt / hiperb de la forma (9.10) con  $\varepsilon$  pequeño

D  $\rightarrow$  problemas hiperbólicos puros (9.9) y (9.10)  $\forall \varepsilon = 0$

E  $\rightarrow$  probl. deq tiempo (9.9)  $\forall \varepsilon > 0$ .

Problemas nodos:

1)  $\Omega$  dominio poligonal convexo en  $\mathbb{R}^2$   $\forall$  frontera  $\Gamma$   
 $\beta = (\beta_1, \beta_2)$  vector constante  $\forall |\beta| = 1$ .

$$(9.12) \quad \begin{aligned} -\varepsilon \Delta u + u_\beta + u &= f && \text{en } \Omega \\ u &= g && \text{sobre } \Gamma \end{aligned}$$

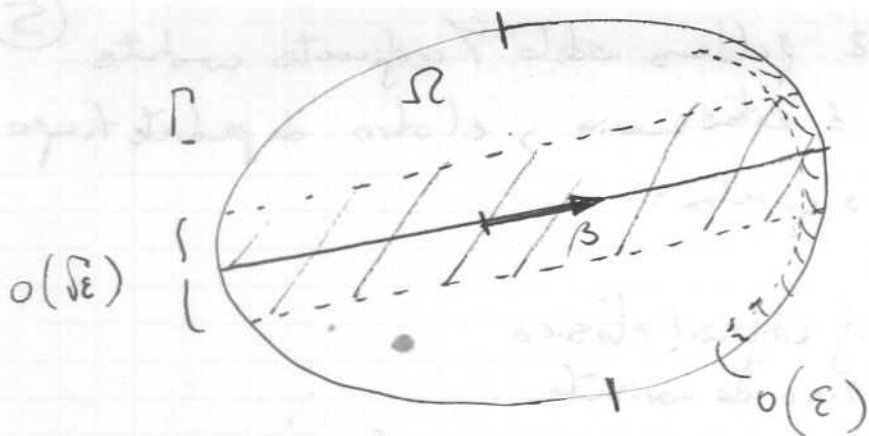
$\varepsilon > 0$ ,  $\forall \beta = \beta \cdot \nabla v$  (derivada en la dirección  $\beta$ ).

Problema reducido cuando:  $\varepsilon = 0 \Rightarrow$

$$(9.13) \quad \begin{aligned} u_\beta + u &= f && \text{en } \Omega \\ u &= g && \text{sobre } \Gamma_- \end{aligned}$$

en  $\Gamma_-$  frontera entrante:  $\Gamma_- = \{x \in \Gamma / u(x) \cdot \beta < 0\}$

Las características del prob. reducido son líneas rectas paralelas a  $\beta$ . Nótese además que en el prob. reducido sólo se impone valores en la frontera  $\Gamma_-$ .



Si se analiza la regularidad de las soluciones exactas de (3.12), (3.13) se observa:

(i) La solución de (3.13) puede ser discontinua (con un salto) a través de una característica, si los datos de frontera  $g$  se discontinuos (por ejemplo)

(ii) En el problema completo (3.12), con  $\epsilon > 0$ , la solución es continua en  $\Omega$ , y el salto va a ser "suavizado" (dispersado) en una región de ancho  $o(\sqrt{\epsilon})$  a través de la característica. Esta región estrecha, donde  $u$  (o derivadas de  $u$ ) cambia rápidamente, se llama layer (capa) ("inter-layers").

Si los valores prescritos por  $u$  en el problema reducido sobre la frontera de salida  $\Gamma_+ = \Gamma \setminus \Gamma_-$  no coinciden con el valor prescrito  $g$  en el problema completo, luego se forma una capa límite (boundary layer) en  $\Gamma_+$ . El ancho de esta capa es  $o(\epsilon)$ .

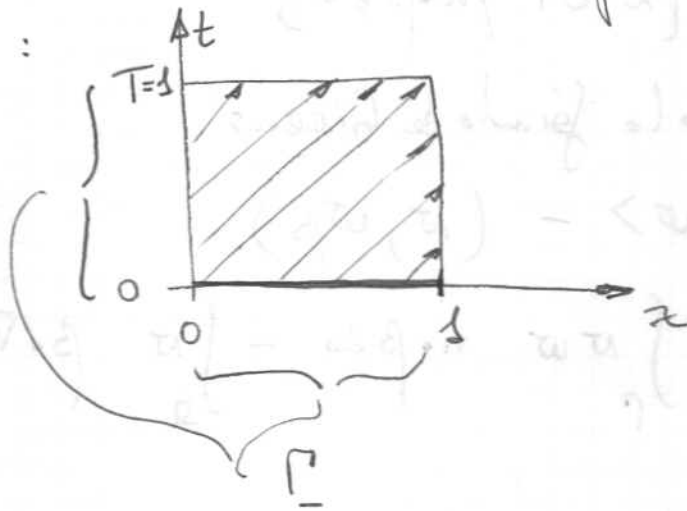
2.) (Problema ~~de~~ <sup>no estacionario</sup> ~~dependiente del tiempo~~) Sea  $\mathcal{G} = (0,1)$  un intervalo espacial,  $I = (0,T)$  un intervalo de tiempo, y  $\Omega = \mathcal{G} \times I$ . Luego, el problema es:

$$\begin{aligned}
 (3.14) \quad & u_t + u_x - \epsilon u_{xx} = f && \text{en } \Omega \\
 & u(x,0) = u_0(x) && x \in \mathcal{G} \\
 & u(x,t) = g(x,t) && x = 0,1, t \in I
 \end{aligned}$$

y el problema reducido correspondiente:

$$\begin{aligned}
 (9.15) \quad & u_t + u_x = f && x \in \Omega \\
 & u(x,0) = u_0(x) && x \in J \\
 & u(0,t) = g(t) && t \in I
 \end{aligned}$$

Claramente, (9.15) (salvo por el término  $u$ ) tiene la misma forma que (9.13). Las características de (9.15) son líneas rectas en el plano  $(x,t)$  con dirección  $(1,1)$  y la frontera de entrada está dada por los puntos  $(x,t)$  con  $x=0$  ó  $t=0$ :



Notación:

En los pds. anteriores (9.12) y (9.13) usaremos la sig. notación:

$$(v,w) = \int_{\Omega} v w \, dx$$

$$(\nabla v, \nabla w) = \int_{\Omega} \nabla v \cdot \nabla w \, dx$$

$$\|v\| = \|v\|_{L^2(\Omega)}$$

$$\|v\|_s = \|v\|_{H^s(\Omega)}$$

R D - I E L P M C

$$\langle \nu, \omega \rangle = \int_{\Gamma} \nu \omega \cdot n \cdot \beta \, ds$$

$$\langle \nu, \omega \rangle_- = \int_{\Gamma_-} \nu \omega \cdot n \cdot \beta \, ds \quad (21.6)$$

$$\langle \nu, \omega \rangle_+ = \int_{\Gamma_+} \nu \omega \cdot n \cdot \beta \, ds$$

$$|\nu| = \left( \int_{\Gamma} \nu^2 |n \cdot \beta| \, ds \right)^{1/2}$$

donc  $\Gamma_+ = \Gamma \setminus \Gamma_- = \{x \in \Gamma \mid n \cdot \beta \geq 0\}$

~~Pour utiliser la formule de Green:~~ Use the formula of Green:

$$(\nu \beta, \omega) = \langle \nu, \omega \rangle - (\nu, \omega \beta)$$

$$\int_{\Omega} \beta \cdot \nabla \nu \omega \, d\Omega = \int_{\Gamma} \nu \omega \cdot n \cdot \beta \, ds - \int_{\Omega} \nu \beta \cdot \nabla \omega \, d\Omega$$

M  
O  
S  
T  
R  
A  
R

Sea ahora  $(T_h)$  una familia de triángulos casi uniformes  $T_h = \{K\}$  de  $\Omega$ , con tamaño de malla  $h$  que satisface condición de ángulo mínimo. Sea un entero positivo  $r$ , introduzcamos el espacio de elementos finitos:

$$V_h = \{v \in H^1(\Omega) / v|_K \in P_r(K) \quad \forall K \in T_h\}$$

(i.e.  $V_h$  es el espacio de funciones polinómicas continuas a trozos de grado  $r$ ) Por teoría de aproximación, se muestra que  $\forall u \in H^{r+1}(\Omega)$ ,  $\exists$  un interpolante  $\tilde{u}^h \in V_h$

$$(9.16a) \quad \|u - \tilde{u}^h\| \leq Ch^{r+1} \|u\|_{r+1}$$

$$(9.16b) \quad \|u - \tilde{u}^h\|_1 \leq Ch^r \|u\|_{r+1}$$

Más aún, si las derivadas de  $u$  de orden  $r+1/2$  están acotadas en  $\Omega$ , luego:

$$\|u - \tilde{u}^h\|_* \leq Ch^{r+1/2} \|u\|_{r+1}$$

y con algunos requerimientos nuevos de regularidad, se muestra

$$(9.16c) \quad \|u - \tilde{u}^h\| \leq Ch^{r+1/2} \|u\|_{r+1}$$

Estimaciones de errores

CORRECCIONES Y RAZONES



Usamos también la desigualdad:

$$2ab \leq \varepsilon a^2 + \varepsilon^{-1} b^2$$

$$\text{con } a, b \in \mathbb{R} \text{ y } \varepsilon > 0 \quad \left( \varepsilon^2 a^2 - 2\varepsilon ab + b^2 \geq 0 \right)$$

### 9.5) Galerkin standard:

Consideramos primero el método Galerkin std P/el problema (9.12) c/  $\varepsilon > 0$ . Por simplicidad, asumamos el dato de la fuente  $g=0$ . Este problema, por su estructura formal, varía en el siguiente:

x Hallar  $u \in H^1(\Omega)$  /

$$(9.17) \quad \varepsilon (\nabla u, \nabla v) + (u_\beta + u, v) = (f, v)$$

$\forall v \in H^1(\Omega)$

(Ej. mostrar equivalencia / estabilidad)

Sea el espacio de elementos finito:

$$\mathring{V}_h = \{ v \in V_h \mid v = 0 \text{ sobre } \Gamma \}$$

Luego, el método standard de Galerkin P/(9.17) se escribe:

Hallar  $u^h \in \mathring{V}_h$  /

$$(9.18) \quad \varepsilon (\nabla u^h, \nabla v) + (u_\beta^h + u^h, v) = (f, v)$$

$\forall v \in \mathring{V}_h$

Este método se comporta bien si  $\varepsilon \gg h$ , pero si  $\varepsilon \ll h$  puede producir soluciones oscilantes que no aproximan a la solución exacta. (Ver ejemplo siguiente)

Ejemplo 9.1: Sea el problema de valores de frontera

(8)

$$-\epsilon u_{xx} + u_x = 0 \quad 0 < x < 1$$

(Sol 9)  $u(0) = 1$

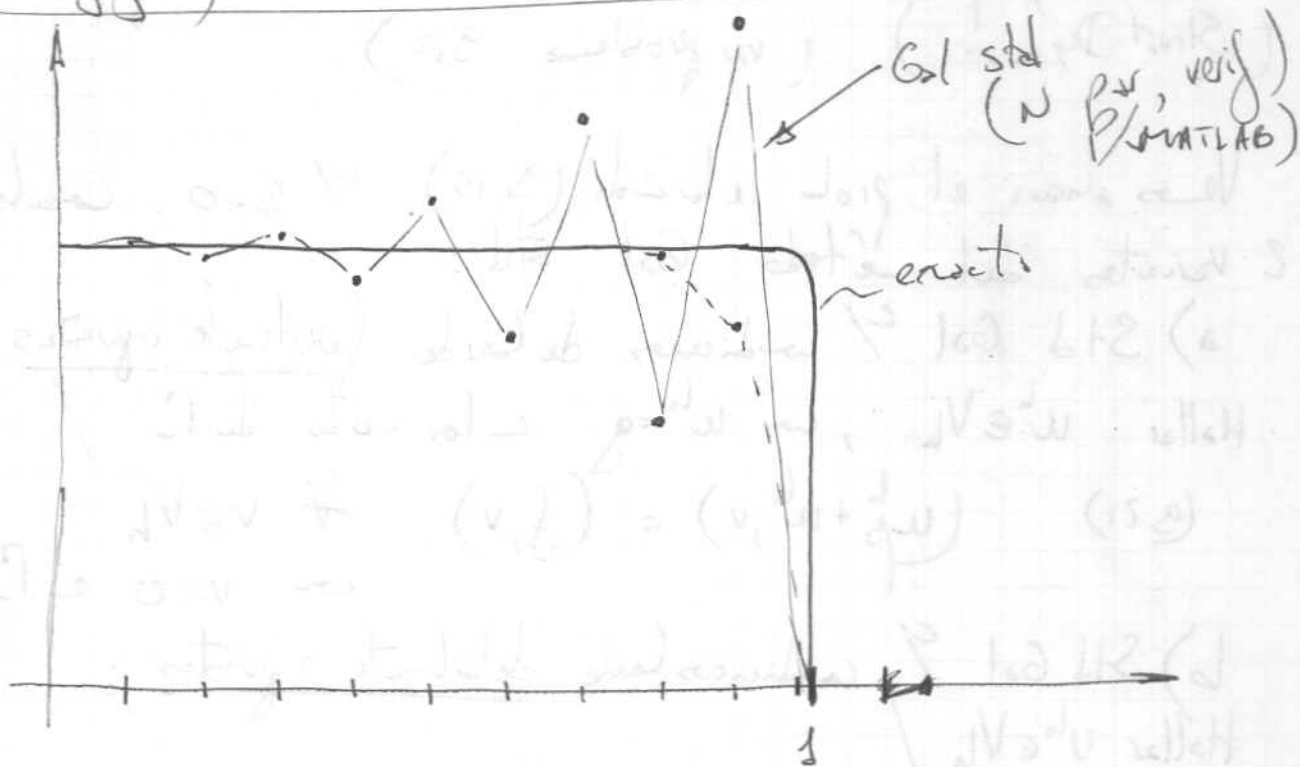
$u(1) = 0$

con  $0 < \epsilon \ll 1$ . La solución exacta es:

$$u(x) = \frac{1}{\lambda} \left( 1 - e^{-\frac{1-x}{\epsilon}} \right)$$

$$\text{con } \lambda = \left( 1 - e^{-1/\epsilon} \right)^{-1}$$

Para  $\epsilon \ll 1$ ,  $u(x)$  es próxima a 1, salvo en una capa en  $x=1$  de ancho  $O(\epsilon)$  donde  $u$  cae de 1 a 0. (Ver figura)



$\epsilon = .01 \quad h = 0.1$

Si aplicamos Galerkin std y finites locales estozos,  $\gamma$  -alla uniforme de long  $h$ , obtenemos el sist de ecuaciones

$$(9.20) \quad -\frac{\varepsilon}{h^2} [U_{i+1} - 2U_i + U_{i-1}] + \frac{1}{2h} [U_{i+1} - U_{i-1}] = 0$$

$$U_0 = 1 \quad U_N = 0 \quad i = 1, \dots, N-1$$

(9.20) puede verse tal y como  $v \rightarrow$  aprox P/dif finita. Si  $N$  es impar y  $\varepsilon$  pequeño, la solución  $U_i$  es aprox igual a 0 para  $i$  impar e igual a 1 para  $i$  par, y obtiene una solución oscilante a todo el dominio. ■

Resueltos, std Gal produce sol oscilante si  $\varepsilon < h$  y la sol exacta no es suave. Sin embargo, si la sol exacta es suave, std Gal da buenos resultados aún para  $\varepsilon < h$ . (Strut Dyn!) (ver problema 9.2).

Vamos ahora al proba reducida (9.13) y  $\varepsilon = 0$ . Consideramos 2 variantes del método Gal std:

a) Std Gal y condiciones de borde fuertemente impuestas.  
Hallar  $u^h \in V_h$ , con  $u^h = g$  en los nodos de  $\Gamma_-$

$$(9.21) \quad (u_\beta^h + u^h, v) = (f, v) \quad \forall v \in V_h$$

$$\text{con } v = 0 \text{ en } \Gamma_-$$

b) Std Gal y condiciones de borde debilmente impuestas:  
Hallar  $u^h \in V_h$

$$(9.22) \quad (u_\beta^h + u^h, v) - \langle u^h, v \rangle = (f, v) - \langle g, v \rangle$$

$$\forall v \in V_h$$

Analizamos el método (b) (9.22) (El (a)  $\rightarrow$  ejercicios 9.3)



Indicamos la forma:

$$b(\omega, \nu) \triangleq (\omega_\beta + \omega, \nu) - \langle \omega, \nu \rangle_-$$

$$l(\nu) = (f, \nu) - \langle g, \nu \rangle_-$$

luego, podemos escribir (3.22) en la forma: Hallar  $u^h \in V_h$

$$(3.23) \quad b(u^h, \nu) = l(\nu) \quad \forall \nu \in V_h$$

Como la sol. exacta satisface (3.13), tenemos (ejercicio  $\rightarrow$  verificar)

$$b(u, \nu) = l(\nu) \quad \forall \nu \in V_h$$

(a partir de  $\forall \nu \in H^1$ )

Hacemos la diferencia:

$$\text{error} = u - u^h$$

$$(3.24) \quad b(u - u^h, \nu) = b(e, \nu) = 0 \quad \forall \nu \in V_h$$

Antes de ver la estabilidad, planteamos sig. lema:

Lema 3.1  $\forall \nu \in H^1(\Omega)$  tenemos:

$$b(\nu, \nu) = \|\nu\|^2 + \frac{1}{2} |\nu|^2$$

D) Por la fórmula de Green:

$$(\nu_\beta, \nu) = -(\nu, \nu_\beta) + \langle \nu, \nu \rangle$$

o sea:

$$(\nu_\beta, \nu) = \frac{1}{2} \langle \nu, \nu \rangle = \frac{1}{2} \langle \nu, \nu \rangle_- + \frac{1}{2} \langle \nu, \nu \rangle_+$$

luego:

$$b(\nu, \nu) = (\nu_\beta + \nu, \nu) - \langle \nu, \nu \rangle_- = \|\nu\|^2 + \frac{1}{2} \langle \nu, \nu \rangle_- + \frac{1}{2} \langle \nu, \nu \rangle_+ - \langle \nu, \nu \rangle_-$$

$$b(\nu, \nu) = \|\nu\|^2 + \frac{1}{2} \langle \nu, \nu \rangle_+ - \frac{1}{2} \langle \nu, \nu \rangle_-$$

Recordando:  $\langle \sigma, \omega \rangle_{\pm} = \int_{\Gamma_{\pm}} \sigma \omega \mathbf{n} \cdot \beta \, ds$

$\gamma \quad |\sigma|^2 = \int_{\Gamma} \sigma^2 |\mathbf{n} \cdot \beta| \, ds$

y siendo  $\mathbf{n} \cdot \beta \begin{cases} \geq 0 & \text{en } \Gamma_+ \\ < 0 & \text{en } \Gamma_- \end{cases}$

obtenemos  $\frac{1}{2} \langle \sigma, \sigma \rangle_+ - \frac{1}{2} \langle \sigma, \sigma \rangle_- = \frac{1}{2} |\sigma|^2$

y por lo tanto

$$b(\sigma, \sigma) = \|\sigma\|^2 + \frac{1}{2} |\sigma|^2 \quad \boxed{\text{Q.E.D.}}$$

Nota adicional, que (3.22) es <sup>equivalente a</sup> un sistema de ecs locales con igual número de ecs e incógnitas:

$b(u^h, \sigma_i) = l(\sigma_i) \quad \forall \sigma_i / \{\sigma_i\} \text{ base de } V_h$

$u^h = \sum \sigma_j \Rightarrow b(\sigma_j, \sigma_i) a_{ij} = l(\sigma_i)$

Por el lema anterior,  $b(\sigma_j, \sigma_i) > 0$  (strictly def. pos.)

$\therefore \exists ! a_{ij}, \text{ o sea } \exists ! u^h / b(u^h, \sigma) = l(\sigma) \quad \forall \sigma \in V_h$

(Estimación de error)

(pda. u.b.)

Teo 3.03)  $\exists$  una  $C$  / si  $u$  satisface (3.13) y  $u^h \in V_h$  es solución de (3.22), luego

(3.25)  $\|u - u^h\|_r + |u - u^h| \leq C h^r \|u\|_{r+1}$

D) Sea  $\tilde{u}^h \in V_h$  el interpolante de  $u$

$$(9.16) \quad \begin{aligned} \|u - \tilde{u}^h\| &\leq C h^{r+1} \|u\|_{r+1} \\ \|u - \tilde{u}^h\|_1 &\leq C h^r \|u\|_{r+1} \end{aligned}$$

Escribamos  $\gamma^h = u - \tilde{u}^h$ ,  $e^h = u^h - \tilde{u}^h$

$$e^h = u^h - \tilde{u}^h = \underbrace{u^h - u}_{-e} + \underbrace{u - \tilde{u}^h}_{\gamma^h} = \gamma^h - e$$

Por el Lema 9.1 y por (9.2a)  $b(e, v) = 0$ , tenemos:

$$\begin{aligned} \left[ \|e^h\|^2 + \frac{1}{2} |e^h|^2 = b(e^h, e^h) = b(\gamma^h, e^h) - \underbrace{b(e, e^h)}_{\substack{\text{hazlo } v=e^h \\ \text{en (9.2a)}}} = \right. \\ \left. = b(\gamma^h, e^h) = \underbrace{(\gamma_\beta^h, e^h)}_{\uparrow \text{des}} + (\gamma^h, e^h) - \langle \gamma^h, e^h \rangle \right] \quad (*) \end{aligned}$$

Usando:  $(u, v) \leq \frac{1}{2} \left( \frac{\|u\|^2}{\epsilon} + \|v\|^2 \epsilon \right)$ ,  $\epsilon = 2$

$$(*) \leq \frac{1}{2} \|\gamma_\beta^h\|^2 + \frac{1}{4} \|e^h\|^2 + \frac{1}{2} \|\gamma^h\|^2 + \frac{1}{4} \|e^h\|^2 + | \gamma^h |^2 + \frac{1}{4} |e^h|^2 =$$

$$= \|\gamma_\beta^h\|^2 + \|\gamma^h\|^2 + | \gamma^h |^2 + \frac{1}{2} \|e^h\|^2 + \frac{1}{4} |e^h|^2 \quad ]$$

Por:  $\|\gamma_\beta^h\|^2 + \|\gamma^h\|^2 + | \gamma^h |^2 \leq C h^r \|u\|_{r+1}$

$\therefore \|e^h\|^2 + |e^h|^2 \leq C h^r \|u\|_{r+1}$

(hazlo asi:  $\|e^h\|^2 \leq \|e^h\|^2 + |e^h|^2 \leq C h^{2r} \|u\|_{r+1}^2$   
 Luego su-er  $\|e^h\| \leq C h^r \|u\|_{r+1}$  y  $|e^h| \leq C h^r \|u\|_{r+1}$ )

Case  $e^h = u^h - \tilde{u}^h$ :

$$e = u - u^h = \eta^h - \theta^h$$

$$\|e\| + |e| = \|u - u^h\| + |u - u^h| \leq \|\eta^h\| + \|\theta^h\| + |\eta^h| + |\theta^h| \leq Ch^r \|u\|_{r+1}$$

↑  
Destiny

---


$$\|u - u^h\| + |u - u^h| \leq Ch^r \|u\|_{r+1}$$


---

Está estimado fíjese que si la solución  $u$  (exacta) es suave /  $\|u\|_{r+1}$  es finita  $\Rightarrow$  Galerkin std converge con tasa  $O(h^r)$ . Este tasa de convergencia está en u óptima, pero muestra que Gal std funciona si la sol es suave.

Por el contrario, cuando  $u$  no es suave, la estimación no nos dice nada, y se verifica que Gal std da malos resultados.

PROBLEMAS

OSO NO ESTÁ ACA EL PROBLEMA  
FALTA CONTROL SOBRE DERIVADAS  
VER + ADICIONATE

NECESARIAMENTE

Thermodynamic potentials

The natural variables of the thermodynamic potentials are:
   
 (i) Helmholtz free energy  $A$ :  $T, V, \mu$ 
  
 (ii) Gibbs free energy  $G$ :  $T, P, \mu$ 
  
 (iii) Enthalpy  $H$ :  $S, P, \mu$ 
  
 (iv) Internal energy  $U$ :  $S, V, \mu$

$$dA = -SdT - PdV + \sum \mu_i dn_i$$

The Helmholtz free energy is the energy available to do work at constant temperature and volume.
   
 The Gibbs free energy is the energy available to do work at constant temperature and pressure.
   
 The enthalpy is the energy available to do work at constant pressure and entropy.
   
 The internal energy is the energy available to do work at constant entropy and volume.



The Helmholtz free energy is the energy available to do work at constant temperature and volume.
   
 The Gibbs free energy is the energy available to do work at constant temperature and pressure.
   
 The enthalpy is the energy available to do work at constant pressure and entropy.
   
 The internal energy is the energy available to do work at constant entropy and volume.

### (3.6) Difusión artificial clásica :

La manera más simple de evitar dificultades con Gal std, con  $\varepsilon < h$ , es evitar completamente la situación. O sea :

i) ~~discretizar~~  $h$  hasta que  $h < \varepsilon$

(~~Esto es~~ poco práctico si  $\varepsilon$  es muy pequeño)

ii) Resolver un problema modificado con un término de difusión -  $h \Delta u$  obtenido al agregar -  $\delta \Delta u$

al ecuación, con  $\delta = h - \varepsilon \Rightarrow$  Método de difusión artificial clásica.

El método consiste en : Hallar  $u^h \in V_h$  /

$$(3.76) \quad h (\nabla u^h, \nabla v) + (u_\beta + u^h, v) = (f, v) \quad \forall v \in V_h$$

Este método de solución no oscilante, produce la desventaja de introducir demasiada difusión. En particular, aparece un término de difusión -  $h u_{\beta\beta}$  actuando en dirección perpendicular a las líneas de corriente :



Este término tiende a suavizar los saltos a través de las líneas de corriente. Además, debido a que se añade -  $\delta \Delta u$ , el método trae a la solución precisión de primer orden y el error es solo un  $o(h)$ , sin

para soluciones suaves,

### 9.7) Structure de diffusion et l'ed

(Diffusion a lo largo de lines de corrente)

Para las ecuaciones en Gal std, e el caso  $\epsilon < h$ , es suficiente con añadir un término  $-\delta u_{\beta\beta}$  con  $\delta = h - \epsilon$ , o sea un término de difusión a lo largo de las lines de corriente:

Hallar  $u^h \in V_h$  /

$$(9.27) \quad \epsilon (\nabla u^h, \nabla v) + \delta (u_{\beta\beta}^h, v_{\beta\beta}) + (u_{\beta\beta}^h + u_{\beta\beta}^h, v) = (f, v) \quad \forall v \in V_h$$

Este método introduce menos difusión en la dirección  $\bar{\beta}$ , a través de las lines de corriente, que el método difus clásico. Pero, ~~este~~ introduce una perturbación  $o(h)$  en la solución del problema original.

Sin embargo, es posible introducir el término "máximo"  $\delta (u_{\beta\beta}^h, v_{\beta\beta})$  sin tal perturbación. Veremos primero cómo hacerlo cuando  $\epsilon = 0$ .

### 9.7.2) Structure diff $\epsilon = 0$

Empezamos a partir de Gal std (9.22)  $\epsilon / BC$  impuestos a forma débil. Si reemplazamos la función de test  $v \in V_h$  por  $v + h v_{\beta\beta}$ , obtenemos el método de dif a lo largo de las lines de corriente:

$$(9.28) \quad (u_{\beta\beta}^h + u_{\beta\beta}^h, v + h v_{\beta\beta}) - (1+h) \langle u^h, v \rangle = (f, v + h v_{\beta\beta}) - (1+h) \langle g, v \rangle \quad \forall v \in V_h$$

\* (Se introdujo el factor  $(1+h)$  a los términos de la derecha. Nótese que no afecta al desarrollo en  $(\mathcal{O}(h^2))$ )

\* Nótese que aparece un término  $h(u_\beta^h; v_\beta)$

\* Nótese además que (3.28) es válido si reemplazamos  $u^h$  por la solución  $u$  de (3.13) (o sea el método es consistente con (3.13) y no introduce perturbación alguna  $\mathcal{O}(h)$  como los métodos anteriores (3.26) y (3.27)):

$$(u_\beta + u, v + h v_\beta) - (1+h) \langle u, v \rangle =$$

$$(f, v + h v_\beta) - (1+h) \langle g, v \rangle$$

$v \in V_h$ ,  $u$  sol de (3.13):

$$u_\beta + u = f \quad \text{en } \Omega$$

$$u = g \quad \text{sobre } \Gamma$$

$$\therefore (f, v + h v_\beta) - (1+h) \langle g, v \rangle = (f, v + h v_\beta) - (1+h) \langle g, v \rangle$$

(Trivialmente)

Analizemos ahora el método (3.28) (pregunte: consistencia OK oscilaciones?)  
Introducimos la notación:

$$B(w, v) \stackrel{\Delta}{=} (w_\beta + w, v + h v_\beta) - (1+h) \langle w, v \rangle$$

$$L(v) \stackrel{\Delta}{=} (f, v + h v_\beta) - (1+h) \langle g, v \rangle$$

El método (3.28) puede formularse:

Hallar  $u^h \in V_h$

$$B(u^h, v) = L(v)$$

$$\forall v \in V_h$$



Más aún, la sol exacta de (8.13) verifica:

$$B(u, v) = L(v) \quad \forall v \in H^1(\Omega)$$

y por diferencia tenemos la ec de error siguiente:

$$(9.23) \quad B(e, v) = 0 \quad \forall v \in V_h$$

$$e = u - u^h$$

Probamos que vale una cota de error en la norma siguiente:

$$\|v\|_\beta = \left( h \|v\|_\beta^2 + \|v\|^2 + \frac{1+h}{2} |v|^2 \right)^{1/2}$$

Porqué elegir esta norma? Nos basamos en la sig propiedad de estabilidad de la forma bilineal B:

Lema 9.2:  $\forall v \in H^1(\Omega)$  tenemos:

$$B(v, v) = \|v\|_\beta^2$$

1) Usando la fórmula de Green, tenemos

$$(v_\beta, v) = \frac{1}{2} \langle v, v \rangle$$

Luego:

$$\begin{aligned} B(v, v) &= (v_\beta + v, v + h v_\beta) - (1+h) \langle v, v \rangle = \\ &= (v, v) + h (v_\beta, v_\beta) + (1+h) (v, v_\beta) - \\ &\quad - (1+h) \langle v, v \rangle = \\ &= \|v\|^2 + h \|v_\beta\|^2 + \left( \frac{1+h}{2} \right) \langle v, v \rangle - (1+h) \langle v, v \rangle = \\ &= \frac{1+h}{2} \left( \langle v, v \rangle_+ - \langle v, v \rangle_- \right) + \|v\|^2 + h \|v_\beta\|^2 = \\ &= \frac{1+h}{2} |v|^2 + \|v\|^2 + h \|v_\beta\|^2 = \|v\|_\beta^2 \end{aligned}$$

Ver Lema (9.1) Recuerda:  $|v|^2 = \int_\Gamma v^2 |m_\beta| ds$

QED

Ver ahora una estimación de error para (9.28):

Teo 9.2  $\exists$   $\nu > 0$  cte  $\mathbb{C}$  / si  $u^h$  satisface (9.28) y  $u$  satisface (9.13), luego:

$$(9.30) \quad \|u - u^h\|_{\beta} \leq C h^{r+1/2} \|u\|_{r+1}$$

D) Sea  $\tilde{u}^h \in V_h$  interpolante de  $u$  que satisface

$$\begin{aligned} \|u - \tilde{u}^h\| &\leq C h^{r+1} \|u\|_{r+1} \\ \|u - \tilde{u}^h\|_1 &\leq C h^r \|u\|_{r+1} \end{aligned} \quad (9.16)$$

Escribamos nuevamente  $\begin{cases} \gamma^h = u - \tilde{u}^h \\ e^h = u^h - \tilde{u}^h \end{cases} \Rightarrow e = \gamma^h - e^h = u - u^h$

y usab el lema (9.2) con  $v = e \Rightarrow B(e, e) = \|e\|_{\beta}^2$

y (9.29) con  $v = u^h - \tilde{u}^h \Rightarrow B(e, u^h - \tilde{u}^h) = 0$

obtenemos:

$$\|e\|_{\beta}^2 = B(e, e) = B(e, \gamma^h) - B(e, e^h) = B(e, \gamma^h) = B(e, u - \tilde{u}^h) = 0$$

$$= (e_{\beta} + e, \gamma^h)_{\beta} - (1+h) \langle e, \gamma^h \rangle =$$

$$= \underbrace{(e_{\beta}, \gamma^h)}_{I} + \underbrace{(e, \gamma^h)}_{II} + h \underbrace{(e_{\beta}, \gamma^h)}_{III} + h \underbrace{(e, \gamma^h)}_{IV} - \underbrace{(1+h) \langle e, \gamma^h \rangle}_{V} = (*)$$

$$(a,b) \leq \frac{\epsilon}{2} \|a\|^2 + \frac{1}{2\epsilon} \|b\|^2 \quad \epsilon_I = h/2 \Rightarrow \epsilon_{IV} = 1/2h$$

$$\epsilon_{II} = 1/2 = \epsilon_{III} \quad \epsilon_{V} = 1/2$$

$$(*) \leq \frac{h}{4} \|e_{\beta}\|^2 + \frac{1}{h} \|\gamma^h\|^2 + \frac{h}{4} \|e_{\beta}\|^2 + h \|\gamma^h\|^2 +$$

$$+ \frac{1}{4} \|e\|^2 + \|\gamma^h\|^2 + \frac{1}{4} \|e\|^2 + h^2 \|\gamma^h\|^2 +$$

$$+ \frac{1+h}{4} \|e\|^2 + (1+h) \|\gamma^h\|^2 =$$

$$= \frac{h}{2} \|e_\beta\|^2 + \left(\frac{1+h}{h}\right) \|\gamma^h\|^2 + h(1+h) \|\gamma_\beta^h\|^2 + \frac{1}{2} \|e\|^2 + \frac{1+h}{2} |e|^2 + (1+h) |\gamma^h|^2$$

Definición de  $\|e\|_\beta^2 \Rightarrow$

$$= \frac{1}{2} \|e\|_\beta^2 + (1+h) \left[ \frac{1}{h} \|\gamma^h\|^2 + h \|\gamma_\beta^h\|^2 + |\gamma^h|^2 \right]$$

$$\leq \frac{1}{2} \|e\|_\beta^2 + C_1 h^{2r+1} \|u\|_{r+1}^2 + C_2 h^{2r+1} \|u\|_{r+1}^2$$

$$\therefore \|e_\beta\|^2 \leq C h^{2r+1} \|u\|_{r+1}^2 \quad \text{QED}$$

Note El método de Galerkin difusivo tiene "estabilidad extra" respecto de Galerkin  $L_2$  a la distancia  $\beta$ .  
 (a este ítem, la forma bilineal  $b(v, v)$  sólo define la norma  $L_2 \|v\|^2$  y  $|v|^2$ . En las pruebas del teorema (9.1) aparece la cantidad  $\|\gamma_\beta^h\|$  (a esto se refiere a partir de  $h$ , debe  $h/2$  grado más de estabilidad)

\* La estimación de error (9.30) de estabilidad difusiva establece que

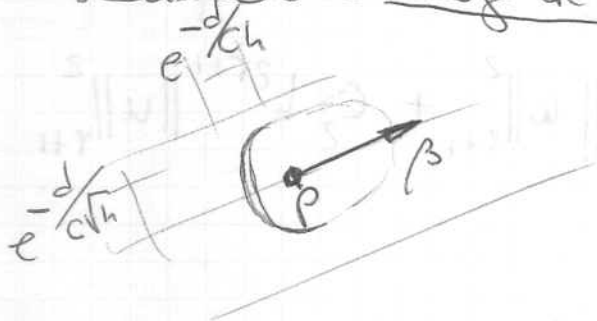
$$\|u - u^h\| \leq C h^{r+1/2} \|u\|_{r+1}$$

$$\|(u_\beta - u_\beta^h)\| \leq C h^r \|u\|_{r+1}$$

o sea la norma  $L_2$  del error está a  $h^{1/2}$  de ser óptimo, mientras que ~~la~~ la norma  $L_2$  de la derivada a la distancia  $\beta$  es óptima,

Estos ejemplos indican que stratified diffusion (9.20) debe ser mejor que Galerkin std. (9.22) si la solución exacta es regular. Si el error no explica la error observada cuando el error no es regular.

La razón de la mejor de aproximación se encuentra porque los efectos se propagan aproximadamente como en el caso continuo, o sea esencialmente a lo largo de las características:



Se puede probar que una función en un punto  $p \in \Omega$  depende aproximadamente como  $e^{-d/cth}$  donde  $d$ : distancia al punto

en la dirección  $\beta$  perpendicular a las características, y como  $e^{-d/cth}$  en la dirección opuesta a las características (dirección "upwind").

Esto significa que un salto en una característica va a estar limitado a una distancia  $O(\sqrt{h})$  (o incluso  $O(h^{3/4})$ ). En Galerkin std, los efectos se propagan en direcciones crosswind & upwind con un pequeño antiguamiento, (el decaimiento es igual a todos los funciones)

Remark 9.3:

Notar que el problema continuo, con  $g=0$  (por simplicidad)

$$u_p + u = f$$

$$u = 0$$

en  $\Omega$   
sobre  $\Gamma$ .



obtenemos la siguiente estimación de estabilidad:

$$|u| + \|u\| + \|u_\beta\| \leq C \|f\|$$

P/ello:

$$I) u_\beta + u = f \implies (u, u_\beta) + (u, u) = (u, f)$$

Por Green:  $(u, u_\beta) = \frac{1}{2} \langle u, u \rangle =$

$$\therefore \frac{1}{2} \underbrace{\langle u, u \rangle}_{|u|^2} + \underbrace{(u, u)}_{\|u\|^2} = (u, f) \leq \frac{1}{2} \|u\|^2 + \frac{1}{2} \|f\|^2$$

$$\implies |u| + \|u\| \leq \|f\|$$

$$II) u_\beta = f - u$$

$$\therefore \|u_\beta\| \leq \|f\| + \|u\| \leq C \|f\|$$

$$(I) + (II) \implies |u| + \|u\| + \|u_\beta\| \leq C \|f\|$$

REVISAR

En el método de elementos finitos (208), la estimación de estabilidad que obtenemos ~~usando~~ usando  $L_2(\Omega) =$

$v = u^h \implies (B(v, v) = \|v\|_\beta^2)$

$$\|u^h\|_\beta^2 = B(u^h, u^h) = L(u^h) =$$

$$= (f, u^h) + h (f, u_\beta^h) = (f, u^h) + h (f, u_\beta^h)$$

$$\leq \frac{1}{2} \|f\|^2 + \frac{1}{2} (\|u^h\|^2 + h \|u_\beta^h\|^2)$$

$$\leq \frac{1}{2} \|f\|^2 + \frac{1}{2} \|u^h\|_\beta^2$$

$$\|u^h\|_\beta^2 \leq \|f\|^2$$

$$\leq \frac{1}{2} \|f\|^2 + \frac{1}{2} \|u^h\|^2 + \frac{h}{2} \|f\|^2 + \frac{h}{2} \|u_\beta^h\|^2$$

$$\leq \frac{C}{2} \|f\|^2 + \frac{1}{2} (\|u^h\|^2 + h \|u_\beta^h\|^2) \leq$$

$$\leq \frac{C}{2} \|f\|^2 + \frac{1}{2} \|u^h\|_\beta^2$$

$$\Rightarrow \|u^h\|_\beta^2 \leq C \|f\|^2$$

Note que pasa  
pde ser a gero  
(u definida de  $\|u\|_\beta$ )

O sea:  $|u^h| + \|u^h\| + \sqrt{h} \|u_\beta^h\| \leq C \|f\|$

Veo que esta estimación es más débil que la existente en el caso continuo, tiene mejor control sobre la derivada a lo largo de la línea de corriente. Lo que ocurre es que en el caso discreto no tenemos una ecuación análoga a  $u_\beta = f - u$ , y entonces no podemos inferir el control de  $\|u_\beta^h\|$  a partir del de  $\|u^h\|$ .

En el método streamline diffusion, se introduce el control (local) de  $u_\beta^h$  en  $f_{\text{ext}} - \tau$  explícito a través de la función de prueba modificada  $v + h v_\beta$ . (Note que en Gal std, la estimación de estabilidad sería  $|u^h| + \|u^h\| \leq C \|f\|$ , sin control de  $\|u_\beta^h\|$ . En este caso, sólo podemos

REV 2.1.13

BUSCAR 7.17, 7.51

questões:

$$\|u_p^h\| \leq \frac{C}{h} \|u^h\| \leq \frac{C}{h} \|f\|$$



Usado ~~esta~~ ~~em~~ ~~esta~~ ~~em~~ inversa (ver 7.17)

Seja  $T_h$  triangulação /  $\exists \beta_1, \beta_2 > 0$ , indep de  $h = \max_{K \in T_h} h_K$ ,  $\forall K \in T_h$   
 $h_K \geq \beta_1 h$ ,  $\sin \alpha_K \geq \beta_2$  ( $T_h$  quasi-uniforme)  $\Rightarrow$  Luego,  $\exists C = C(\beta_i)$  /  
 $a(v, v) = \int_{\Omega} |\nabla v|^2 dx \leq C h^{-2} \|v\|_2^2 \quad \forall v = \sum_{i=1}^M \gamma_i \phi_i \in V_h$

si  $h \rightarrow 0 \Rightarrow \|u_p\| \rightarrow \infty$ .

(9.7.2) Método streamline diffuse  $\epsilon > 0$

Esperamos del prob estar en (9.12)  $\epsilon / q = 0$  y  $h > \epsilon > 0$ :

$$\begin{aligned} -\epsilon \Delta u + u_p + u &= f && \text{em } \Omega \\ u &= 0 && \text{sobre } \Gamma \end{aligned}$$

~~Assum~~  $(N_p = \beta \cdot \nabla N)$

Multiplicamos la 2ª ecuación por la función de prueba  $N + \delta N_p$ , con  $N \in H_0^1(\Omega)$  e integramos:

$\int_{\Omega} (N + \delta N_p, -\epsilon \Delta u + u_p + u) = \int_{\Omega} (N + \delta N_p, f)$

$$\begin{aligned} -\epsilon \delta (\Delta u, N_p) - \epsilon (\Delta u, N) + (N + \delta N_p, u_p + u) &= \\ &= (N + \delta N_p, f) \end{aligned}$$

Integramos P/parts (Green):

$$\begin{aligned} (\Delta u, N) &= \int_{\Omega} \nabla u \cdot \nabla N \, d\Omega = \\ &= \int_{\Gamma} N \nabla u \cdot n \, d\Gamma - \int_{\Omega} \nabla N \cdot \nabla u \, d\Omega = \\ &= \underbrace{\int_{\Gamma} N \nabla u \cdot n \, d\Gamma}_{0 \text{ pois } N \in H_0^1(\Omega)} = -(\nabla N, \nabla u) \end{aligned}$$

$$-\varepsilon \delta(\nu_\beta, \Delta u) + \varepsilon (\nabla u, \nabla \nu) + (u_\beta + u, \nu + \delta \nu_\beta) = (f, \nu + \delta \nu_\beta) \quad (*)$$

Formulas un análogo teorema de estabilidad:

$$u \rightarrow u^h \in \overset{\circ}{V}_h$$

$\nu$  restringido a  $\overset{\circ}{V}_h$

Recordar:

$$V_h = \{ \nu \in H^1(\Omega) / \nu|_K \in P_r(K) \quad \forall K \in \mathcal{T}_h \}$$

$$\overset{\circ}{V}_h = \{ \nu \in V_h / \nu|_\Gamma = 0 \}$$

~~Para~~ Para los  $u, \nu$  como las plantillas, se plantea el problema de cómo calcular:

$$(\nu_\beta, \Delta u^h)$$

?

NO DEFINIDO PARA  $u^h \in \overset{\circ}{V}_h$

Por extensión, definimos:

$$(\Delta u^h, \nu_\beta) \triangleq \sum_{K \in \mathcal{T}_h} \int_K \Delta u^h \nu_\beta \, d\Omega$$

Nota que los integrales ~~de~~ triángulo están bien definidos; de este modo eliminamos el problema que se plantea a las celdas triangulares.

Formulas ahora el siguiente lema de estabilidad

diffusion:

$$\text{Hallar } u^h \in \overset{\circ}{V}_h$$

$$(\nu_\beta, \Delta u) = (\nabla \nu \cdot \beta, \Delta u) = (\nabla \nu, \Delta u \beta)$$

$$(9.32) \quad \varepsilon (\nabla u^h, \nabla \nu) - \varepsilon \delta(\Delta u^h_\beta, \nabla \nu) + (u_\beta + u^h, \nu + \delta \nu_\beta) =$$



$$= (f, v + \delta v_p) \quad \forall v \in V_h \quad (17)$$

donde i)  $\delta = \bar{c} h$  si  $\varepsilon < h$ ,

con  $\bar{c}$  suficientemente pequeño (ver + absolute, Result 3.2)

ii)  $\delta = 0$  si  $\varepsilon \geq h$

● Nota que la formulación es consistente y puesto que (3.32) es satisfecho para  $u^h = u$ , como se vio en ~~\*~~ (\*)

- Los resultados de estimación de error y estabilidad vistos / el caso  $\varepsilon = 0$  puede extenderse al método (3.32) /  $\varepsilon > 0$ , con  $\varepsilon < h$ .

◦ El método propuesto permite construir soluciones aproximadas de ~~la~~  $\varepsilon / h$  propiedad de estabilidad y convergencia.

Result 3.4: Ver una prueba de la estimación de estabilidad, notando que la presencia del término  $-\varepsilon \delta (\Delta u^h, v_p)$  no deteriora la estabilidad extra afectada por  $\delta (u_p^h, v_p)$  si la constante  $\bar{c}$  es suficientemente pequeña.

Usando la estimación inversa (7.51), tenemos para  $v \in V_h$ :

$$|\varepsilon \delta (\Delta v, v_p)| \leq \frac{1}{2} \varepsilon \| \nabla v \|^2 + \frac{1}{2} \varepsilon \delta c^2 h^{-2} \delta \| v_p \|^2$$

\*\*\*

ver ARAS

$$\begin{aligned}
 |ES(\Delta \nu, \nu_\beta)| &= |ES(\nabla \nu, \nabla \nu_\beta)| \stackrel{\text{Green}}{\leq} \frac{\varepsilon}{2} \|\nabla \nu\|^2 + \frac{\delta^2 \varepsilon}{2} \|\nabla \nu_\beta\|^2 \leq \\
 &\stackrel{\text{Green}}{\leq} \frac{\varepsilon}{2} \|\nabla \nu\|^2 + \frac{\delta^2 \varepsilon}{2} C^2 h^{-2} \|\nu_\beta\|^2
 \end{aligned}$$

is it still explicit?

luego, si definimos  $B_\varepsilon(\cdot, \cdot)$  asociado a  $(g_0, z)$ :

~~$B_\varepsilon(\nu, \nu)$~~

$$B_\varepsilon(\omega, \nu) \stackrel{\Delta}{=} \varepsilon (\nabla \omega, \nabla \nu) - \varepsilon \delta (\Delta \omega \beta, \nabla \nu) + (\omega_\beta + \omega, \nu + \delta \nu_\beta)$$

obtenemos:

$$\begin{aligned}
 B_\varepsilon(\nu, \nu) &= \underbrace{\varepsilon (\nabla \nu, \nabla \nu)}_{\varepsilon \|\nabla \nu\|^2} - \underbrace{\varepsilon \delta (\Delta \nu \beta, \nabla \nu)}_{\leq \frac{1}{2} \varepsilon \|\nabla \nu\|^2 + \frac{1}{2} \varepsilon \frac{\delta^2 C^2}{h^2} \|\nu_\beta\|^2} + \underbrace{(\nu_\beta + \nu, \nu + \delta \nu_\beta)}_{\delta \|\nu_\beta\|^2 + \|\nu\|^2 + (1+\delta)(\nu_\beta, \nu)}
 \end{aligned}$$

Green:

$$(\nu_\beta, \nu) = \langle \nu, \nu \rangle - (\nu, \nu_\beta)$$

$$(\nu_\beta, \nu) = \frac{1}{2} \langle \nu, \nu \rangle = 0, \quad \nu \in H_0^1(\Omega)$$

$$B_\varepsilon(u, u) \geq \frac{\varepsilon}{2} \|\nabla u\|^2 + \underbrace{\left( \delta - \frac{\varepsilon}{2} \frac{\delta^2 C^2}{h^2} \right)}_{\delta \left( 1 - \frac{\varepsilon}{2} \frac{\delta C^2}{h^2} \right)} \|u_\beta\|^2 + \|u\|^2$$

Luego, habiendo  $\bar{c}$  lo pequeño que:

$$\frac{\varepsilon \delta C^2}{h^2} = \frac{\varepsilon C^2 \bar{c} h}{h^2} \leq C^2 \bar{c} < 1$$

$$\Rightarrow \bar{c} < \frac{1}{C^2}$$

Luego:  $\therefore \left( 1 - \frac{1}{2} \frac{\delta C^2 \varepsilon}{h^2} \right) \geq \frac{1}{2} \quad \delta = \bar{c} h$

$$B_\varepsilon(u, u) \geq \frac{1}{2} \left( \varepsilon \|\nabla u\|^2 + \delta \|u_\beta\|^2 + \|u\|^2 \right) \quad \forall u \in V_h^0$$

que es el resultado de estabilidad buscado. ( $\|u_\beta^h\|$  queda acotada por  $B_\varepsilon(u^h, u^h)$ , o sea por  $\|f\|$ )

- Note:  $\bar{c} < \frac{1}{C^2}$  P/estabilidad,

sob  $C$  etc que proviene de la estructura a ver ~~\*\*\*~~

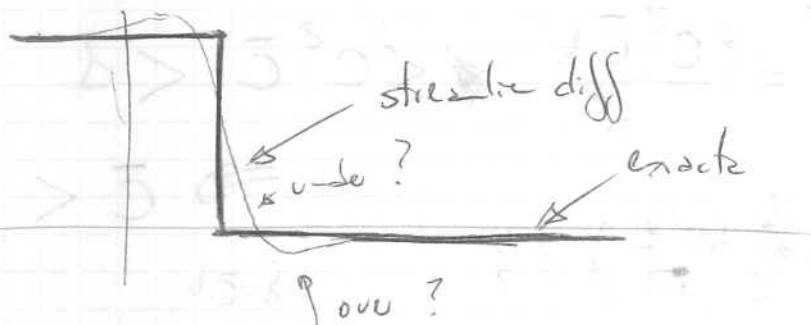
Remark 5.5: Si  $T_h$  no es uniforme, o si  $|\beta|$  es variable, luego a (9.32) elegimos

i)  $\delta = \frac{\bar{c} h_K}{|\beta|}$  sobre  $K \in T_h$  si  $\varepsilon < h_K |\beta|$

donde  $h_K$  es el diámetro de  $K$

ii)  $\delta = 0$  si  $\varepsilon \geq h_K |\beta|$

Remark 9.6: Como se vio anteriormente el método de streamline diffusion capturaré un salto de la solución exacta a una "capa numérica" fina. (thin numerical layer). Sin embargo, dentro de esta capa se pueden producir "under-shoots" u "over-shoots" suaves:

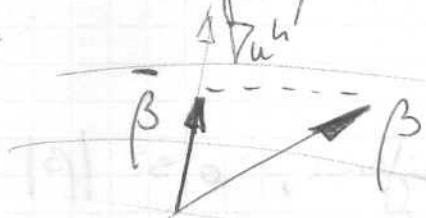


Existen métodos que tratan de disminuir aún más el error cercano a la discontinuidad. Ej: usar test-funciones de la forma:

$$N + \delta \beta \cdot \nabla N + \bar{\delta} \bar{\beta} \cdot \nabla N$$

donde  $\bar{\beta} = \frac{\beta \cdot \nabla u^h}{|\nabla u^h|} \nabla u^h$

O sea  $\bar{\beta}$  es la proyección de  $\beta$  sobre  $\nabla u^h$ :



Como  $\bar{\beta}$  depende de la solución desconocida  $u^h$ , este método se vuelve no lineal, aún cuando el PDE continuo es lineal.

Remark 9.7: El método streamline diffusion  $V$  (9.12) y (9.13) es obtenido por multiplicación  $V$  funciones de ~~test~~ de la forma  $N + h \nabla \beta$ , con  $N \in V_h$ .

Oser, que los fcs de ~~prueba~~ usadas pertenecen a un espacio distinto del de fcs de prueba  $V_h$  donde buscamos la solución discreta  $u_h$ .

Este método, en el cual los fcs de test difieren de los de prueba, se llama Petrov-Galerkin.  
(En Galerkin std, los esp de fcs de test y de prueba son los mismos)

PROBLEMAS:



8.9) Método de diferencias finitas / problemas de convección / (20)  
difusión dependientes del tiempo:

Considera el problema:

$$(9.03) \quad u_t + u_x - \varepsilon u_{xx} = f \quad \text{en } \Omega = \mathcal{J} \times I$$

$$u(x, 0) = u_0(x) \quad x \in \mathcal{J}$$

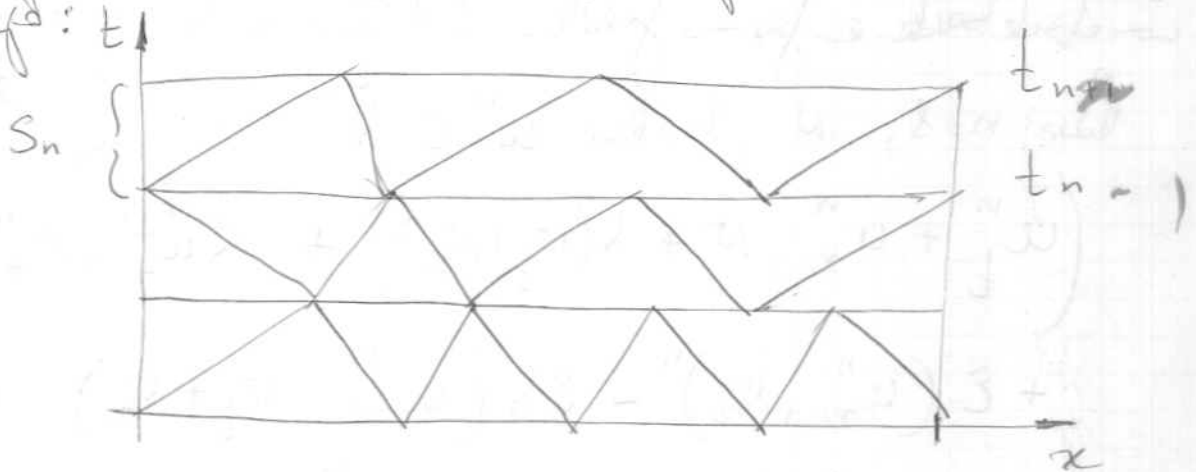
$$u(x, t) = 0 \quad x=0, 1 \quad t \in I$$

con  $\varepsilon > 0$ ,  $\mathcal{J}$  su intervalo,  $BC / x=0$ .

Nota que debido a la presencia de  $u_{xx}$ , las fcs de prueba debe ser continuas en la variable espacial.

Usamos el método de diferencias finitas en espacio / tiempo y buscamos por calcular la solución discreta a fin de obtener un estado de fcs del otro (espacio de los valores).

Esto nos lleva a considerar un espacio / tiempo de fcs de prueba continuas en el espacio, pero discretas en el tiempo:  $t$



Sea  $0 = t_0 < t_1 < \dots < t_N = T$  una subdivisión del intervalo de tiempo  $I = (0, T)$ . Sea las fcs  $S_n /$

$$S_n = \{ (x, t) : 0 < x < 1, t_{n-1} < t < t_n \}$$

para  $n = 1, \dots, N$ . Además, para cada  $n$ , sea  $V^n$  un espacio de elementos finitos de  $H^1(S_n)$  basado en un triangulación de la tira  $S_n$  con elementos de tamaño  $h > \varepsilon$  y sea

$$V_0^n = \{ v \in V^n / v(x,t) = 0 \text{ para } x=0,1 \}$$

(Nota que no es necesario que los diferenciales se conformen al paso de un nivel de tiempo al otro, véase)

Aplicamos ahora el método de elementos finitos (9.32) en la tira  $S_n$  al prob(9.13)

Hallar  $u^n \in V_h$

$$(9.32) \quad \varepsilon (\nabla u^n, \nabla v) - \varepsilon \delta (\Delta u^n, \nabla v) + (u^n + u^n, v + \delta v) = (f, v + \delta v) \quad \forall v \in V_h$$

Imponemos los valores iniciales a  $t = t_{n-1}$  a fortaleza y los cond de borde a fortaleza fuerte. Obtenemos lo sig:

Para  $n=1, \dots, N$ , hallar  $u^n \in V_h^n$

$$\left( u_t^n + u_x^n, v + \delta(v_t + v_x) \right)^n + \langle u_+^n, v_+^n \rangle^{n-1} +$$

$$+ \varepsilon (u_{xx}^n, v_x^n) - \varepsilon \delta (u_{xxx}^n, v_t + v_x) =$$

$$= \left( f, v + \delta(v_t + v_x) \right)^n + \langle u_-^{n-1}, v_+ \rangle^{n-1}$$

$$\forall v \in V_h^n$$



~~$$-\epsilon u_{xx} + u_x = 0$$~~

~~$$u(0) = 1$$~~
~~$$u(1) = 0$$~~

~~$$-\epsilon (\nu, u_{xx}) + (\nu, u_x) = 0$$~~

~~$$\epsilon (\nu_x, u_x) + (\nu, u_x) = 0$$~~

(S.32)

$$u_p - \epsilon u_{xx} = f$$

$$u(x, 0) = u_0(x)$$

$$u(x, t) = 0 \quad x=0, 1 \quad t \in I$$

$$x \in J$$

$$x \in J$$

$$t \in I$$

$$p = [1, 1]$$

Aplicar (S.32) Multiplicar la ecuación por  $\nu + \delta \nu_p$ :

$$(u_p - \epsilon u_{xx}, \nu + \delta \nu_p)^n = (f, \nu + \delta \nu_p)^n$$

y agregar la ecuación en forma débil:

$$(u_p - \epsilon u_{xx}, \nu + \delta \nu_p)^n + \langle u_+^n, \nu_+^n \rangle^{n-1} = (f, \nu + \delta \nu_p)^n + \langle u_-^n, \nu_+^n \rangle^{n-1}$$

$$\forall \nu \in V^n$$

donde:

$$(w, \nu)^n = \int_{S^n} w \nu \, dx \, dt$$

$$\langle w, v \rangle^n = \int_0^1 w(x, t_n) v(x, t_n) dx$$

$$v_+(x, t) = \lim_{s \rightarrow 0^+} v(x, t+s)$$

$$v_-(x, t) = \lim_{s \rightarrow 0^-} v(x, t+s)$$

Trabajo del otro:

$$\left( u_t^n + u_x^n, v + \delta(v_x + v_t) \right)^n -$$

$$- \varepsilon \left( u_{xx}^n, v + \delta(v_x + v_t) \right)^n +$$

$$+ \langle u_+, v_+ \rangle^{n-1} = \left( f, v + \delta(v_x + v_t) \right)^n +$$

$$+ \langle u_-, v_+ \rangle^{n-1}$$

Int Vpts:

$$- \varepsilon \left( u_{xx}^n, v_x \right)^n + \varepsilon \delta \left( u_{xx}^n, v_x + v_t \right)^n$$

$$\therefore \left( u_t^n + u_x^n, v + \delta(v_x + v_t) \right)^n + \varepsilon \left( u_{xx}^n, v_x \right)^n -$$

$$- \varepsilon \delta \left( u_{xx}^n, v_x + v_t \right)^n + \langle u_+, v_+ \rangle^{n-1} =$$

$$= \left( f, v + \delta(v_x + v_t) \right)^n + \langle u_-, v_+ \rangle^{n-1}$$

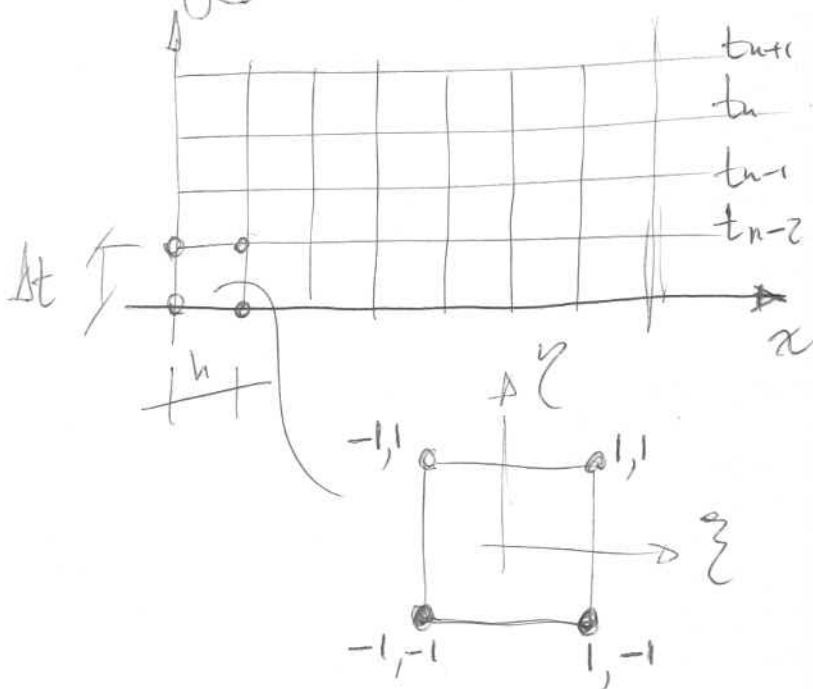
$\forall v \in V_0^n$

Definir como esto, el otro problema.

Veremos un sist de ecuaciones lineales P en el  
 pto de tiempo  $\Rightarrow$  esquema implícito

Suggerimento:

Usare elementi bilineari & loggare  $v$  - espone le derivazioni  
 $\alpha \rightarrow$  alla f.e. nel  $[0, 1]$  :



$$u(z, y) = \frac{(1+z)(1+y)}{\lambda} U_{1,1} + \frac{(1-z)(1+y)}{\lambda} U_{-1,1} + \dots$$

Usare costruzioni fatte

Exercises

Find the partial fraction decomposition of the rational function  $f(x) = \frac{1}{x^2(x^2+1)}$ .



$$\frac{1}{x^2(x^2+1)} = \frac{A}{x} + \frac{B}{x^2} + \frac{C}{x+1} + \frac{D}{x-1}$$

Partial fraction decomposition